

УДК 669.16

**А.А. ТОМАШ, А.В. КУЗИН\***

## ИССЛЕДОВАНИЕ ГАЗОПРОНИЦАЕМОСТИ ЗОНЫ РАЗМЯГЧЕНИЯ В ДОМЕННОЙ ПЕЧИ\*

В работе расчётным путём оценено влияние пылеугольного топлива и компенсирующих мероприятий на изменение перепада давления газа в зоне размягчения.

**Ключевые слова:** горячая прочность кокса, зона размягчения, пылеугольное топливо

### **Введение**

Черная металлургия является одной из ведущих отраслей промышленности Украины. Одной из основных и трудоемких стадий производства черных металлов является доменное производство.

Эффективность доменной технологии напрямую определяется удельным расходом кокса. В настоящее время за рубежом удельный расход кокса снижен до 250-300 кг/т чугуна, что в 1,5-2 раза ниже, чем в Украине. Это обеспечено не только за счет применения высококачественного железорудного сырья и кокса, высокого температурно-дутьевого потенциала горна, но и за счет вдувания пылеугольного топлива (ПУТ) в количестве до 200-250 кг/т чугуна [1-3].

Эффективность доменной технологии может быть существенно улучшена при условии рациональной организации противотока шихты и газа. С этой целью и для максимального снижения расхода кокса предлагаются различные компенсирующие мероприятия: применение более богатых по железу материалов, подготовка материалов по крупности, применение кокса с более высоким значением горячей прочности (CSR), применение новых видов загрузочных устройств и т.д. Указанные мероприятия направлены на улучшение газопроницаемости не только «сухой» зоны доменной печи, но и определяющей газодинамику печи зоны – зоны размягчения шихтовых материалов (зона когезии) [4, 5].

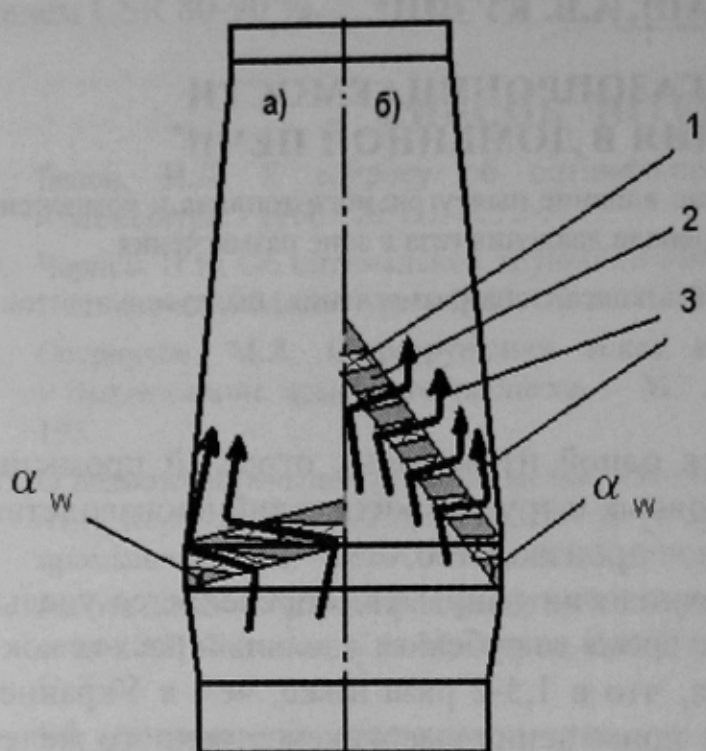
Однако до настоящего времени расчётным путём не оценено влияние компенсирующих мероприятий при вдувании ПУТ на изменение газопроницаемости зоны размягчения.

### **Цель работы**

Целью представленной работы является оценка влияния компенсирующих мероприятий технологии доменной плавки при вдувании пылеугольного топлива на изменение газопроницаемости шихты в зоне размягчения.

\* Работа пополнена под руководством д-ра техн. наук, профессора С.Л. Ярошевского (ДонНТУ)

## Основная часть



1 – слой кускового кокса (коксовые окна); 2 – слой размягчённой рудной шихты; 3 – потока газа;  $\alpha_W$  – угол наклона коксовых окон к границе зоны размягчения.

Рисунок 1 – Расположение зоны размягчения шихты в доменной печи:

а – при низкой интенсивности осевого газового потока;

б – при высокой интенсивности осевого газового потока;

принятый равным выходу газа на колошнике,  $\text{м}^3/\text{с}$ ;  $RH$  – рудная нагрузка, отношение массы рудной шихты к массе кокса в подаче, т/т;  $\gamma_K$  и  $\gamma_A$  – насыпная плотность кокса и эквивалент насыпной плотности размягчённой шихты,  $\text{кг}/\text{м}^3$ ;  $S_p$  – горизонтальная проекция площади основания зоны размягчения,  $\text{м}^2$ .

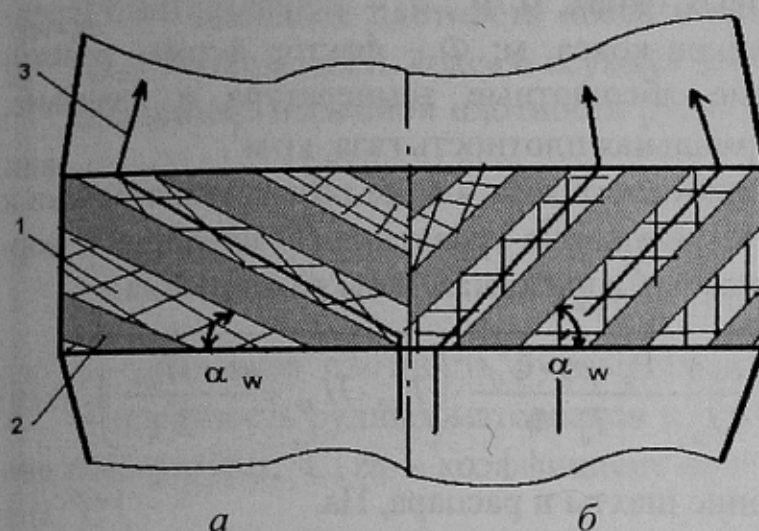
При расположении оснований зоны размягчения в распаре её площадь горизонтальной проекции равна площади распара. Для расчётов зона размягчения принимается горизонтальной (рис.2) с сохранением наклона коксовых окон к её границе.

Оценка изменения газопроницаемости зоны размягчения шихты в доменной печи при вдувании ПУТ осуществлялась с помощью математической модели, основанной на современных представлениях о строении этой зоны.

Зона размягчения имеет Л-образную форму с основаниями, опирающимися на стены распара (рис. 1), и состоит из чередующихся коксовых окон и слоёв размягчённой шихты. Принято, что газ через зону размягчения может проходить только через коксовые окна. Слои размягчённой шихты приняты абсолютно непроницаемыми для газового потока [6]. В этом случае скорость доменного газа, приведенная к пустому сечению коксовых окон, составит

$$U_0 = \frac{Q_0 \cdot \left( 1 + PH \cdot \frac{\gamma_K}{\gamma_A} \right)}{S_p} \quad (1)$$

где  $Q_0$  – выход доменного газа при нормальных условиях,



1 – слой кускового кокса (коксовое окно); 2 – слой размягчённой рудной шихты; 3 – поток газа.

Рисунок 2 – Горизонтальная проекция зоны размягчения шихты на распар: а – при низкой интенсивности осевого газового потока; б – при высокой интенсивности осевого газового потока.

Высота зоны размягчения  $H_{3P}$  принята равной высоте распара. Длина пути газа в зоне размягчения из-за наклонного расположения коксовых окон увеличивается и составляет

$$l = \frac{H_{3P}}{\sin \alpha_w} \quad (2)$$

где  $\alpha_w$  – угол наклона коксового окна к границе зоны размягчения.

Сделано допущение, что температура газа меняется линейно с высотой зоны размягчения

$$T = T_{HP} + a_T \cdot H_{3P}, \quad (3)$$

где  $T_{HP}$  – абсолютная температура начала размягчения, К;  $a_T$  – градиент температуры газа, К/м,

$$a_T = \frac{T_{KP} - T_{HP}}{H_{3P}} \quad (4)$$

где  $T_{KP}$  – абсолютная температура конца размягчения, К;

Изменение температуры и давления газа оказывает влияние на его скорость и плотность в соответствии с законом состояния идеального газа.

С учётом сделанных допущений градиент давления газа  $P$  в зоне размягчения меняется в направлении от границы распара с шахтой к границе распара с заплечиками в соответствии с уравнением, следующим из формулы Эргана

$$\text{grad } P = \frac{dP}{dH} = \frac{\Psi \cdot (1 - \varepsilon_K) \cdot (T_{HP} + a_T H) \cdot \rho_g \cdot U_0^2 \cdot P_0}{2 \cdot \varepsilon_K^3 \cdot d_3 \cdot \Phi \cdot T_0 \cdot P \cdot \sin \alpha_w}, \quad (5)$$

где  $\Psi$  – коэффициент сопротивления, определяемый по формуле

$$\Psi = 150/Re + 1,75;$$

$\varepsilon_K$  – порозность кокса в коксовых окнах,  $\text{м}^3/\text{м}^3$ ;  $d_3$  – эквивалентный (среднегармонический) диаметр кусков кокса, м;  $\Phi$  – фактор формы, равный 0,7-0,8;  $T_0$ ,  $P_0$  – нормальные абсолютные температура и давление,  $T_0 = 273 \text{ К}$ ,  $P_0 \approx 10^5 \text{ Па}$ ;  $\rho_g$  – нормальная плотность газа,  $\text{кг}/\text{м}^3$ .

В расчётах принято, что плотность газа в зоне размягчения близка к плотности горнового газа. Интегрирование уравнения (5) приводит к формуле для расчёта давления на разных горизонтах зоны размягчения

$$P = \sqrt{P_{sh}^2 + \frac{\Psi}{\sin \alpha_w} \cdot \frac{(1 - \varepsilon_K)}{\varepsilon_K^3 \cdot d_3} \cdot \frac{P_0 \cdot \rho_g \cdot U_0^2}{T_0 \cdot \Phi} \cdot \left( T_{HP} \cdot H_{3P} + \frac{a_T \cdot H_{3P}^2}{2} \right)}, \quad (6)$$

где  $P_{sh}$  – давление газа на границе шахты и распара, Па.

При подстановке в (6) значение высоты, изменяемое от 0 до  $H_{3P}$ , рассчитывали давление газа на границах зоны размягчения, соответственно  $P_{sh}$  и  $P_P$ , а перепад давления  $\Delta P$  рассчитываем как разность между  $P_P$  и  $P_{sh}$ .

Значение рудной нагрузки в уравнении (1) удобно определять из соотношения

$$PH \approx \frac{[Fe]}{Fe_p \cdot K_{уд}}, \quad (7)$$

где  $[Fe]$  и  $Fe_p$  – содержание железа в чугуне и рудных материалах, %;  $K_{уд}$  – удельный расход кокса,  $\text{кг}/\text{т}$  чугуна

Удельный расход кокса предварительно определяется по расчёту общего материального и теплового баланса доменной плавки или зональных тепловых балансов с делением доменной печи на две зоны. Возможна упрощённая оценка расхода кокса по уравнению

$$K_{уд} \approx K_0 \cdot [1 - 0,01 \cdot (Fe - Fe_0)] - 0,9 \cdot ПУТ - 0,8 \cdot ПГ, \quad (8)$$

где  $K_0$  – удельный расход кокса при исходном содержании железа в шихте  $Fe_0$  (%), отсутствии ПУТ и природного газа, но при сохранении высокой температуры дутья и других параметров доменной плавки,  $\text{кг}/\text{т}$  чугуна;  $ПУТ$  и  $ПГ$  – удельный расход ПУТ и природного газа,  $\text{кг}/\text{т}$  чугуна и  $\text{м}^3/\text{т}$  чугуна;  $Fe$  – содержание железа в шихте в расчётный период, %.

Уравнение (8) может быть дополнено другими факторами (температура дутья, состав чугуна, расход металлодобавок и др.) с использованием известных коэффициентов приведения к равным условиям.

Насыпная плотность шихтовых материалов в зоне размягчения отличается от насыпной плотности шихты в «сухой» зоне доменной печи. Насыпная плотность кокса в коксовых окнах составит

$$\gamma_K = \gamma_K^{сух} \cdot \frac{1 - \varepsilon_K^{3P}}{1 - \varepsilon_K^{сух}}, \quad (9)$$

где  $\gamma_K^{СУХ}$  – насыпная плотность кокса в «сухой» зоне, равная  $480 \text{ кг}/\text{м}^3$ ;  $\varepsilon_K^{СУХ}$  и  $\varepsilon_K^{ЗР}$  – порозность кокса в «сухой» зоне и зоне размягчения,  $\text{м}^3/\text{м}^3$ .

Эквивалент насыпной плотности рудных материалов в зоне размягчения

$$\gamma_A = \gamma_P \cdot \frac{1 - \frac{\varepsilon_P^{СУХ}}{2}}{1 - \varepsilon_P^{СУХ}} \cdot \frac{1}{1 + \alpha_V \cdot \Delta t}, \quad (10)$$

где  $\gamma_P$  – насыпная плотность рудных материалов в «сухой» зоне,  $\text{кг}/\text{м}^3$ ;  $\varepsilon_P^{СУХ}$  – порозность рудных материалов в «сухой» зоне,  $\text{кг}/\text{м}^3$ ;  $\Delta t$  – увеличение температуры,  $^{\circ}\text{C}$ ;  $\alpha_V$  – коэффициент объемного термического расширения,  $^{\circ}\text{C}^{-1}$ .

Коэффициент объемного термического расширения рудных материалов определялся экспериментально при нагревании смеси агломерата и окатышей крупностью 5–7 мм в шахтной лабораторной электропечи с 20 до  $900 \text{ }^{\circ}\text{C}$  по положению штока, помещенного на поверхность слоя нагреваемых образцов. Значение  $\alpha_V$  составило  $2 \cdot 10^{-4} \text{ }^{\circ}\text{C}^{-1}$ .

Порозность и диаметр кусков кокса в коксовых окнах зоны размягчения приняты равными средним значениям между этими газодинамическими характеристиками в шахте и нижней зоне (горн и заплечики) доменной печи:

$$\varepsilon_K^{ЗР} = \frac{\varepsilon_K^{СУХ} + \varepsilon_K^{НИЖН}}{2}, \quad (11)$$

$$d_{\vartheta} = \frac{d_K^{СУХ} + d_K^{НИЖН}}{2}, \quad (12)$$

где  $\varepsilon_K^{НИЖН}$  – порозность кокса в заплечиках и горне,  $\text{м}^3/\text{м}^3$ ;  $d_K^{СУХ}$  и  $d_K^{НИЖН}$  – эквивалентный (среднегармонический) диаметр кусков кокса в шахте и заплечиках доменной печи, м.

Порозность рудной шихты, смеси агломерата и окатышей, в «сухой» зоне определяли, исходя из их гранулометрического состава, по формуле

$$\varepsilon_P^{СУХ} = \varepsilon_{kp} - m \cdot \left[ 1 - \frac{1 - \varepsilon_{kp}}{\varepsilon_{kp} \cdot \Phi_{2/3}^K} \cdot \frac{d_M}{d_K} \right] \cdot (1 - \varepsilon_M), \quad (13)$$

где  $m$  – объемная доля мелкой фракции -5 мм, д.ед.;  $\varepsilon_{kp}$  и  $\varepsilon_M$  – порозность крупной и мелкой фракции рудной шихты,  $\varepsilon_{kp} = \varepsilon_M = 0,51 \text{ м}^3/\text{м}^3$ ;  $\Phi_{2/3}^K$  – фактор формы крупных частиц, равный 2/3 для шаров, для доменной шихты  $\Phi_{2/3}^K = 0,5$ ;  $d_M/d_K$  – отношение диаметров мелких и крупных частиц, для рудных материалов составило  $d_M/d_K = 0,125$ .

Гранулометрический состав рудной шихты моделировался, исходя из сведений о содержании мелкой фракции в агломерате и окатышах. Доля мелочи составила  $m = 0,061$  д.ед. (низкая доля мелочи является результа-

том отсева мелких фракций перед загрузкой в доменную печь). Порозность слоя рудной шихты в «сухой» зоне составила  $0,487 \text{ м}^3/\text{м}^3$ . Насыпная плотность рудной шихты в шахте –  $1935 \text{ кг}/\text{м}^3$ . Эквивалент насыпной плотности размягчённой шихты в распаре –  $\gamma_A = 2385 \text{ кг}/\text{м}^3$ .

Порозность кокса (однородного материала) рассчитывали по формуле [7]

$$\varepsilon = \frac{\varepsilon_{kp} - g \cdot \left( 1 - \frac{1 - \varepsilon_{kp}}{\varepsilon_{kp} \cdot \Phi_{2/3}^K} \cdot \frac{d_m}{d_k} \right)}{1 - g \cdot \left( 1 - \frac{1 - \varepsilon_{kp}}{\varepsilon_{kp} \cdot \Phi_{2/3}^K} \cdot \frac{d_m}{d_k} \right)}, \quad (14)$$

где  $\varepsilon_{kp}$  – порозность крупной фракции  $0,55 \text{ м}^3/\text{м}^3$ ;  $g$  – содержание мелкой фракции (-25 мм в «сухой» зоне, -3 мм – в нижней части печи) в коксе, д.ед.;  $d_m/d_k$  – отношение диаметров мелких и крупных частиц кокса, для кокса составило 0,246.

Порозность кокса в «сухой» зоне составила  $0,543 \text{ м}^3/\text{м}^3$ , эквивалентный диаметр кусков кокса в «сухой» зоне 41,6 мм.

Гранулометрический состав кокса в нижней части печи моделировали с помощью статистического распределения Вейбула по методике, изложенной в работе [8]. Для кокса с горячей прочностью CSR = 41,23 %, соответствующей современному качеству кокса Алчевского металлургического комбината, уравнение Вейбула приняло вид

$$F(d) = 1 - \exp(-0,107 \cdot d^{0.92}), \quad (15)$$

а гранулометрический состав кокса в горне имеет следующий состав

$d$ , мм	0-1	1-3	3-5	5-7	7-10	10-25	25-40	40-60	+60
$g$ , %	10,11	15,27	12,02	9,78	11,60	28,46	8,57	3,19	1,0

Порозность кокса при CSR = 41,23 % в горне составила  $0,424 \text{ м}^3/\text{м}^3$ , а эквивалентный диаметр частиц – 2,8 мм. Тогда газодинамические характеристики кокса в окнах зоны размягчения, рассчитанные по формулам (11) и (12) составят:

$$\begin{aligned} \varepsilon_K^{3P} &= (0,424 + 0,543)/2 = 0,484 \text{ м}^3/\text{м}^3, \\ d_3 &= (41,6 + 2,8)/2 = 22,2 \text{ мм}. \end{aligned}$$

Насыпная плотность кокса в зоне размягчения при CSR = 41,23 % в соответствии с формулой (8) составила  $542 \text{ кг}/\text{м}^3$ . С увеличением горячей прочности кокса его порозность и эквивалентный диаметр возрастают, а насыпная плотность в коксовых окнах снижается.

Так как размягчённый материал частично проникает в коксовые окна и заполняет часть объёма межкусковых пустот, порозность кокса в окнах снижается:

$$\varepsilon_K = \varepsilon_K^{3P} - V_P, \quad (16)$$

где  $V_p$  – относительный объём проникшего в слой кокса размягчённого материала. Принято, что объём  $V_p$  составляет  $0,08 \text{ м}^3/\text{м}^3$ .

Расчёты выполняли для условий доменной печи №1 ОАО «АМК» полезным объёмом  $3000 \text{ м}^3$  со следующими геометрическими характеристиками профиля: диаметр распара –  $12,8 \text{ м}$ , высота распара –  $2 \text{ м}$ . Расчеты проводили при следующих исходных данных: выход колошникового газа  $119 \text{ м}^3/\text{с}$ ; плотность горнового газа –  $1,16 \text{ кг}/\text{м}^3$ ; кинематическая вязкость газа  $4,14 \cdot 10^{-5} \text{ м}^2/\text{с}$  температура начала размягчения  $1000^\circ\text{C}$  ( $1273 \text{ К}$ ); температурный интервал размягчения  $200^\circ\text{C}$ ; угол наклона коксовых окон  $15^\circ$ ; избыточное давление газа на колошнике –  $173 \text{ кПа}$ , что соответствует условиям доменной печи; перепад давления в «сухой» части доменной печи  $70 \text{ кПа}$ . Тогда абсолютное давление на границе шахта – распар составит

$$P_{Ш} = 100 + 173 + 70 = 343 \text{ кПа.}$$

Результатами расчёта являются значения перепада давления газа в зоне размягчения шихты. Их уменьшение свидетельствует о повышении газопроницаемости зоны размягчения и улучшении газодинамических условий доменной плавки.

Критическим значением перепада давления газа в этой зоне является  $50 \text{ кПа}$ . Превышение этого значения свидетельствует об опасности подвижаний шихты, необходимости снижения интенсивности доменной плавки, недопустимости такого режима и необходимости принятия мер по повышению газопроницаемости зоны размягчения.

Результаты расчёта представлены на рис. 3-8.

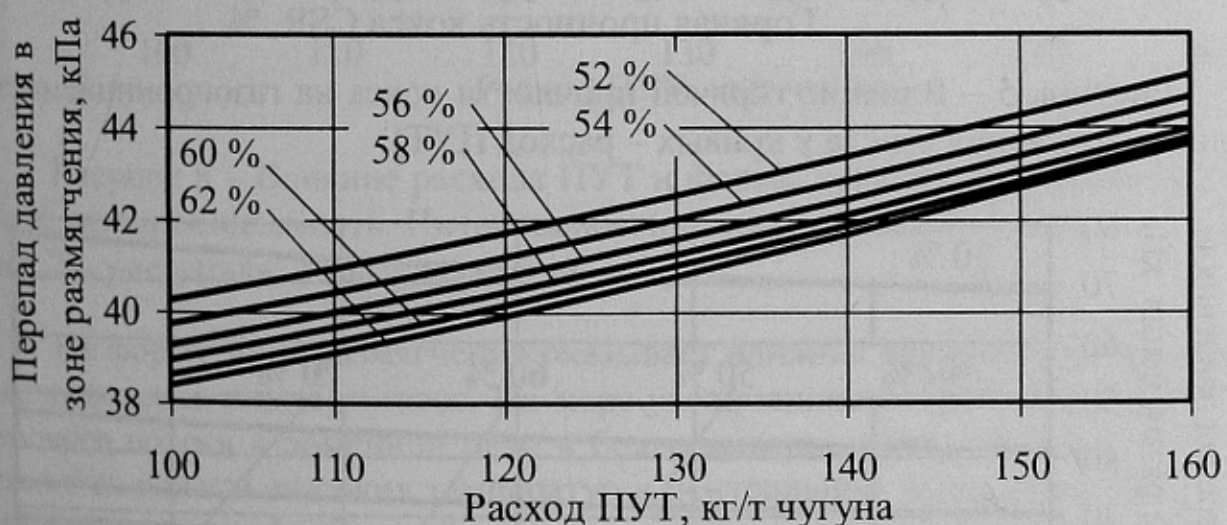


Рисунок 3 – Влияние расхода ПУТ и содержания железа в рудной шихте (числа у кривых) на газопроницаемость зоны размягчения шихты.

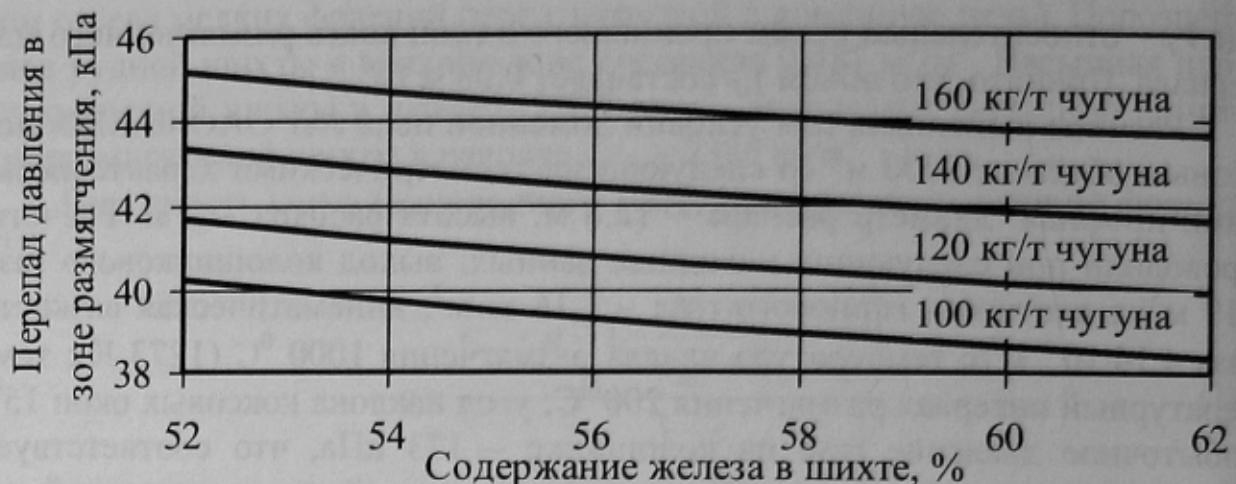


Рисунок 4 – Влияние содержания железа в рудной шихте и расхода ПУТ (числа у кривых) на газопроницаемость зоны размягчения шихты.



Рисунок 5 – Влияние горячей прочности кокса на газопроницаемость зоны размягчения (числа у кривых – расход ПУТ).

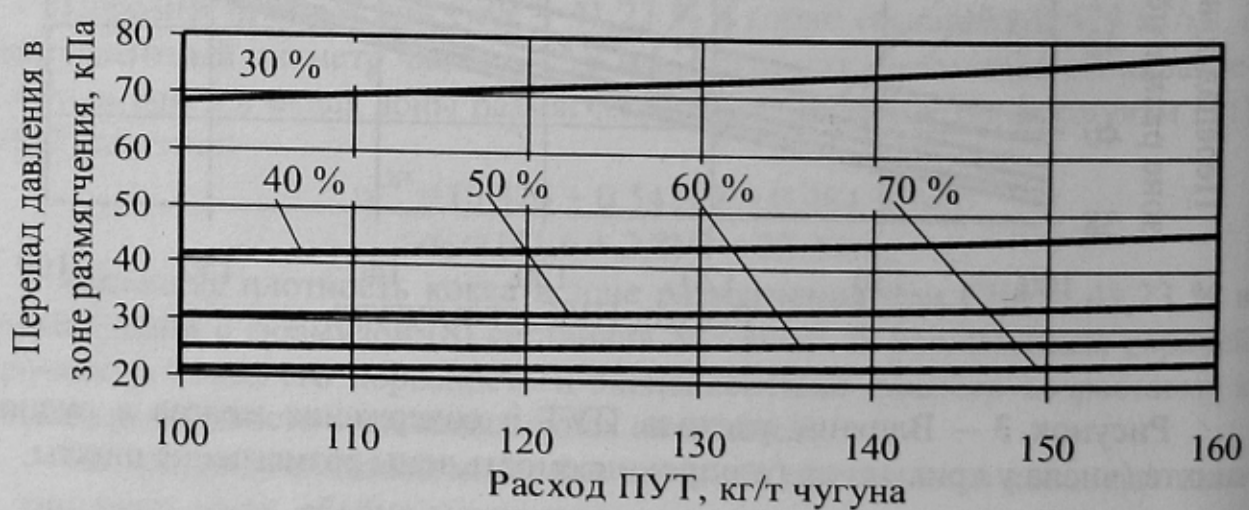


Рисунок 6 – Влияние расхода ПУТ и горячей прочности кокса (числа у кривых) на газопроницаемость зоны размягчения

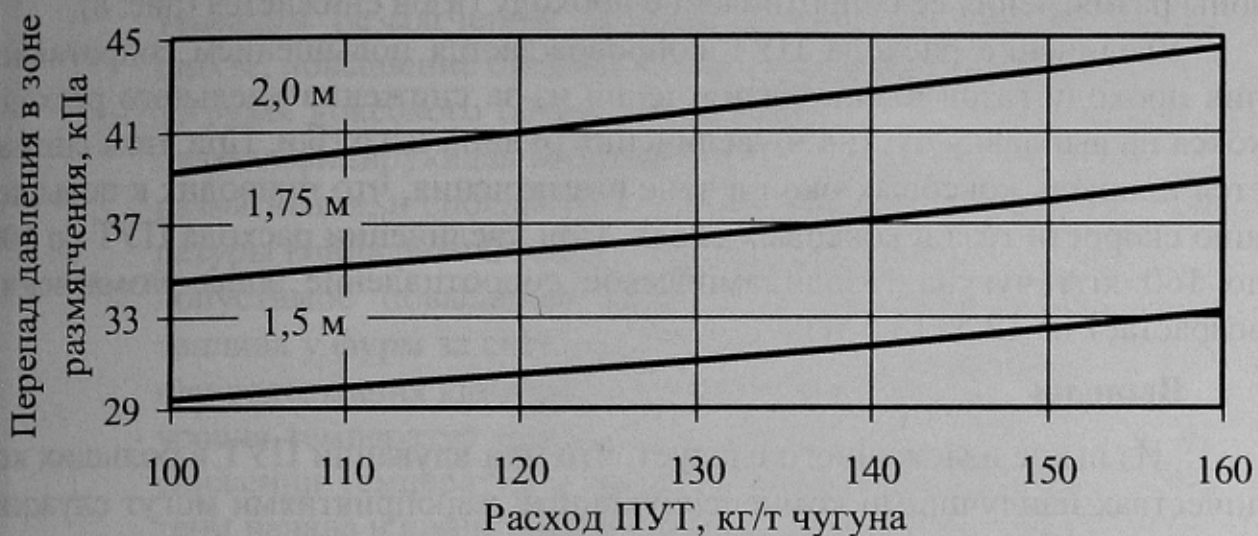


Рисунок 7 - Влияние расхода ПУТ и высоты зоны размягчения шихты (числа у кривых) на её газопроницаемость

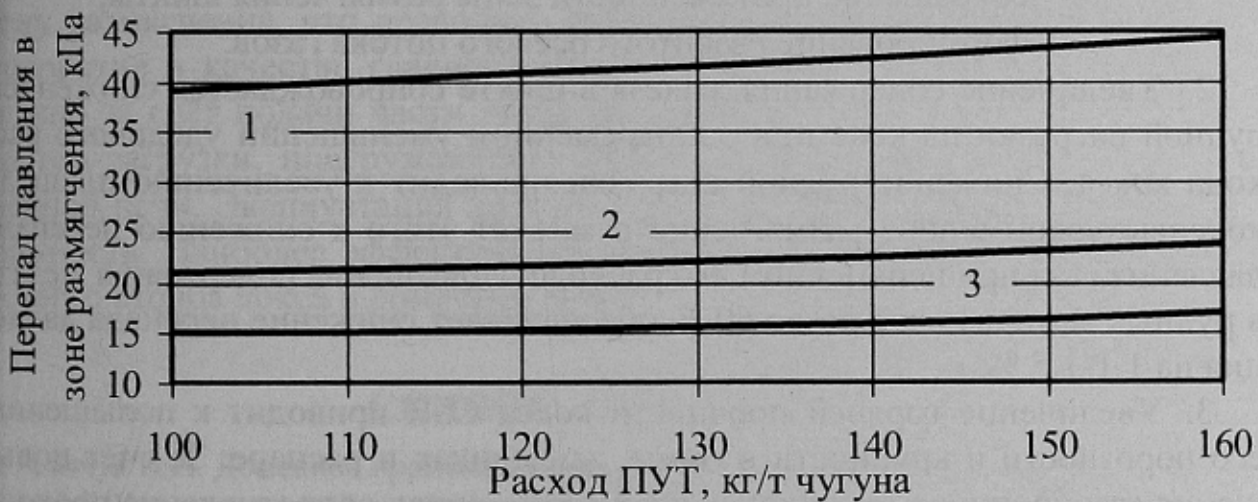


Рисунок 8 – Влияние расхода ПУТ и формы зоны размягчения шихты на её газопроницаемость. Интенсивность осевого газового потока: 1 – низкая; 2 – умеренная; 3 - высокая

На форму зоны размягчения оказывает влияние характер радиального распределения шихты и газов. По мере увеличения интенсивности осевого газового потока в доменной печи в более высокие горизонты шахты поднимается область высоких температур в центральной части печи. Соответственно вершина Л-образной зоны размягчения также поднимается в более высокие горизонты. Это приводит к увеличению угла наклона коксовых окон  $\alpha_w$  к границе зоны размягчения шихты (рис. 1 и 2). Угол  $\alpha_w = 15^0$  соответствует низкой интенсивности осевого потока газа, значение угла  $\alpha_w=30^0$  – умеренному осевому газовому потоку,  $\alpha_w=45^0$  достигается при очень интенсивном потоке газов в центре. С увеличением интенсивности

газового потока и формированием более вытянутой в высоту Л-образной зоны размягчения её сопротивление проходу газов снижается (рис. 8).

Увеличение расхода ПУТ сопровождается повышением сопротивления проходу газов в зоне размягчения из-за снижения удельного расхода кокса на выплавку чугуна и увеличения рудной нагрузки. При этом снижается площадь коксовых окон в зоне размягчения, что приводит к повышению скорости газа в коксовых слоях. При увеличении расхода ПУТ со 100 до 160 кг/т чугуна газодинамическое сопротивление зоны размягчения возрастает на 12,5÷13,5 %.

## Выводы

1. Из выше изложенного следует, что при вдувании ПУТ в больших количествах наилучшими компенсирующими мероприятиями могут служить следующие факторы:

- увеличение содержания железа в шихте;
- увеличение горячей прочности кокса CSR;
- сокращение протяжённости зоны размягчения шихты;
- формирование развитого осевого потока газов.

2. Увеличение содержания железа в шихте сопровождается снижением рудной нагрузки на кокс при одновременном уменьшении удельного расхода кокса. Снижение рудной нагрузки приводит к увеличению площади коксовых окон в зоне размягчения и за счёт этого к снижению перепада давления газа при неизменном его расходе. Повышение содержания железа в рудных материалах с 56 до 60 % обеспечивает снижение перепада давления на 1,1-1,5 %.

3. Увеличение горячей прочности кокса CSR приводит к повышению его порозности и крупности в горне, заплечиках и распаре. За счёт повышения газопроницаемости кокса в коксовых окнах сопротивление проходу газов резко снижается. Увеличение горячей прочности кокса с 41 до 50 % обеспечит снижение перепада давления газа в зоне размягчения на 20-25 %. Применение кокса с низкой горячей прочностью CSR=30 % недопустимо, так как перепад давления газа в зоне размягчения превышает критическое значение 50 кПа, что приведёт к неровному сходу и подвисаниям шихты и потребует снижения интенсивности доменной плавки независимо от расхода ПУТ. Критический минимальный показатель горячей прочности кокса, при котором  $\Delta P_{3P} = 50$  кПа, составил: при расходе ПУТ 160 кг/т чугуна – 38 %; при расходе ПУТ 140 кг/т чугуна – 37,5 %; при расходе ПУТ 120 кг/т чугуна – 37 %; при расходе ПУТ 100 кг/т чугуна – 36 %.

4. Сокращение протяжённости зоны размягчения шихты уменьшает перепад давления газа в зоне размягчения пропорционально высоте зоны вязкопластического состояния шихтовых материалов. Уменьшение высоты зоны размягчения с 2,0 до 1,5 м снижает  $\Delta P_{3P}$  на 25-26 %. Возможны несколько способов сокращения высоты зоны размягчения:

- подбор шихтовых материалов с меньшим температурным интервалом размягчения, переход к однокомпонентной рудной шихте, повышение степени оглюсования окатышей;
- загрузка коксового орешка совместно с рудными материалами, интенсифицирующая восстановление твёрдым углеродом в зоне размягчения, и способствующая за счёт этого снижению температуры конца размягчения;
- допустимое повышение теоретической температуры горения топлива у фурм за счёт увеличения температуры горячего дутья или содержания кислорода в дутье сопровождается повышением уровня температур ниже зоны размягчения при одновременном снижении температур в шахте и способствует сближению изотерм начала и конца размягчения.

5. Формирование развитого осевого потока газов позволяет снизить сопротивление проходу газов зоны вязкопластического состояния шихты в 2,6 раза за счёт уменьшения длины пути фильтрации газового потока через зону размягчения, что позволяет рассматривать это компенсирующее мероприятие в качестве главного. Достичь развитого осевого потока газов можно за счёт подачи части кокса непосредственно в центр колошника и систем загрузки, подгружающих рудной сыпью периферийную зону доменной печи. Эксплуатация лоткового БЗУ на ДП 1 АМК даёт такую возможность. Наиболее эффективным является формирование непрерывного осевого столба кокса в доменной печи.

## СПИСОК ЛИТЕРАТУРЫ

1. Савчук Н.А. Доменное производство на рубеже XXI века / Н.А. Савчук, И.Ф. Курунов// Новости черной металлургии за рубежом. – М.: ОАО Черметинформация, 2000. – Ч. II. – Прилож. 5.– 42 с.
2. Ярошевский, С.Л. Резервы эффективности комбинированного дутья в доменных цехах Украины /С.Л. Ярошевский // Познание процессов доменной плавки. – Днепропетровск: Пороги, 2006. – С. 366-387.
3. Ярошевский, С.Л. Перспективы и эффективность доменной технологии определяются степенью замены кокса пылеугольным топливом / С.Л. Ярошевский // Доклад на международной научно-технической конференции "Пылеугольное топливо – альтернатива природного газу при выплавке чугуна"; г. Донецк, 18-21 декабря 2006. – Донецк: Норд компьютер, – 2007. – 21 с.
4. Томаш, А.А. Изменение порозности многокомпонентной доменной шихты при размягчении /А.А. Томаш, В.П. Тараков, В.Б. Семакова, А.В. Зотов //Вестник Приазовского государственного технического университета. – 1999. – Вып. 8. – С. 9-14.
5. Тараков, В.П. К вопросу рационального распределения материалов и газов по радиусу доменной печи / В.П. Тараков, А.А. Томаш, В.Б. Семакова, О.Т. Хайретдинова //Вестник Приазовского государственного технического университета. – 2003. – Вып. 13. – С. 14-19.

6. Гуденау, Г.В. Оптимизация профиля пластической зоны доменной печи / Г.В. Гуденау, К. Крайбих, К.Х. Петерс // Чёрные металлы. – 1981 – № 3 – С. 13-18.
7. Томаш, А.А. Углубление теоретических положений расчета порозности зернистого материала / А.А. Томаш // Труды V-го международного конгресса доменщиков «Производство чугуна на рубеже столетий»; Днепропетровск-Кривой Рог, 7-12 июня, 1999 г. – Днепропетровск: Пороги, 1999 - С. 273-276.
8. Кузин, А.В. Оценка гранулометрического состава кокса и порозности в нижней части доменной печи / А.В. Кузин, С.Л. Ярошевский, Р.В. Ковальчик, А.А. Томаш // Збірник наукових праць Донбаського державного технічного університету. – Алчевськ: ДонДТУ, 2008. – С. 125-133.

Поступила в редакцию 01.11.2010

Рецензент д-р техн. наук, проф. С.Л. Ярошевский

© **Томаш А.А., Кузин А.В., 2010**